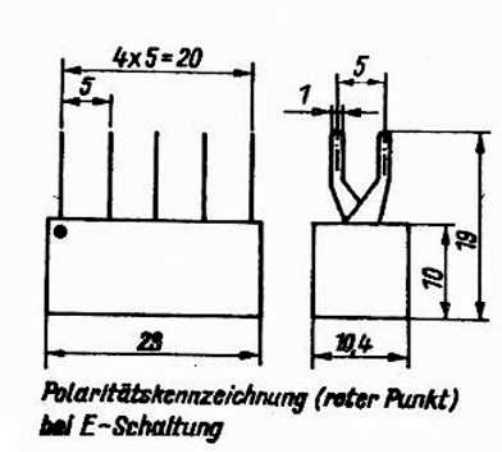
Selenblockgleichrichter im Plastgehäuse für gedruckte Schaltungen Селеновье блокировочные выпрямители в пластмассовом корпусе для печатанных схем коммутации Selenium rectifier blocks in plastic casing for printed circuits

Typ	Kenndaten be	Gehäuse-			
	U _{AN} V	I _{FN}	abmessungen		
E 500 C 15	500	15	10 x 10 x 23		
E 625 C 15	625	15	10 x 10 x 23		
M 500 C 30	500	30	10 x 10 x 23		
M 625 C 30	625	30	10 x 10 x 23		
V 250 C 15	250	15	10 x 10 x 23		
V 300 C 15	300	15	10 x 10 x 23		
B 250 C 30	250	30	10 x 10 x 23		
в 300 с 30	300	30	10 x 10 x 23		

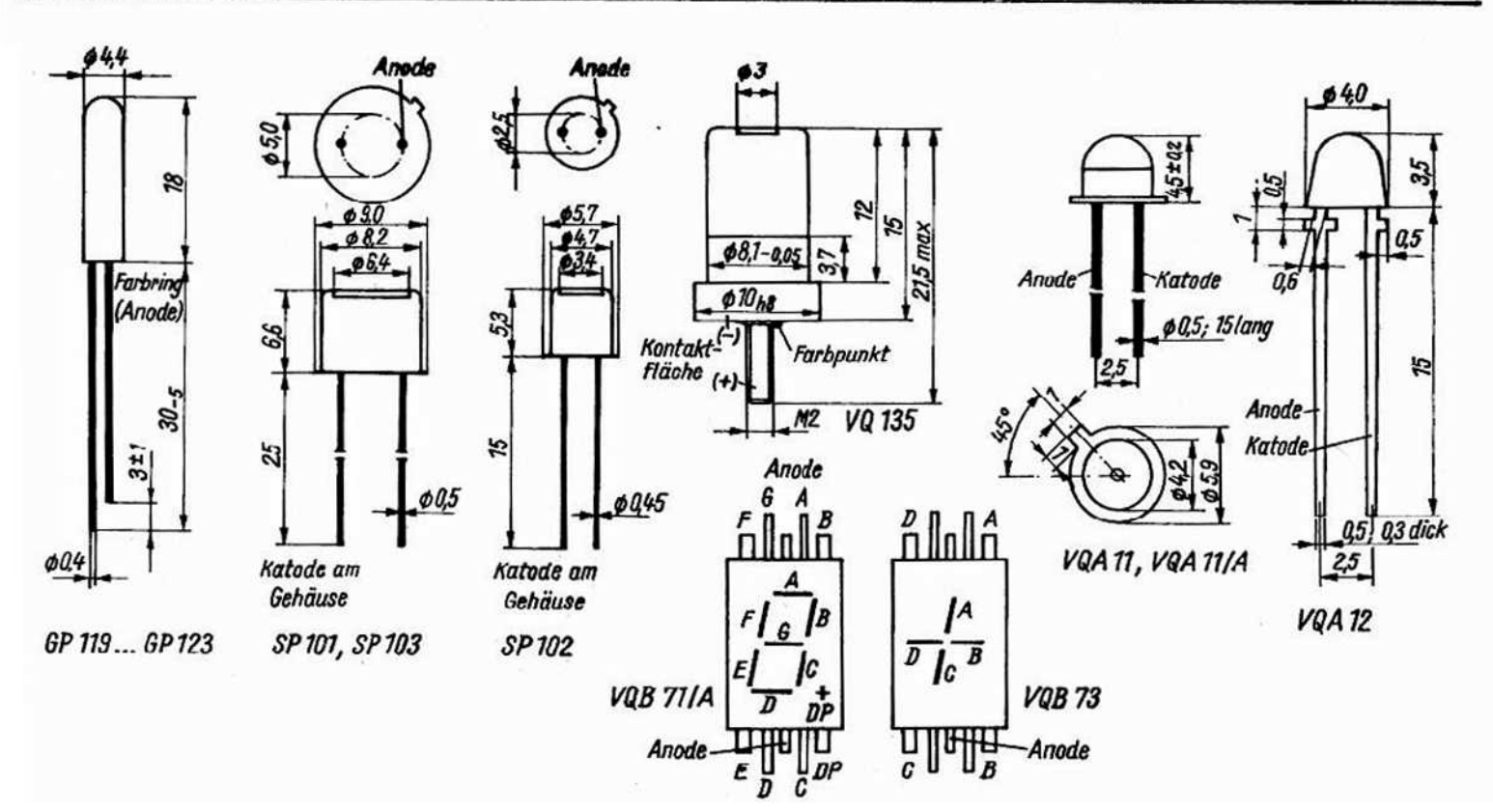


Kurzzeichen

A	wirksame Fläche	$I_{\mathbf{Z}}$	Z-Strom	UCEsat	Kollektor-Emitter-
Cc	Gehäusekapazität	ΔÏZ	Stabilität des Z-Stroms	A STATE OF THE PARTY OF THE PAR	Sättigungsspannung
Cgss	Eingangskapazität	I ₀	Ausgangsstrom	UCEA	Kollektor-Emitter- Sperrspannung bei in
C'a	Sperrschichtkapazität	IO	Richtstrom		Sperrichtung vorge-
c,	Lastkapazität	ΔĬO	Richtstromdifferenz		spannter Emitterdiode
Ctot	Gesamtkapazität	1	Länge	UD	Blockierspannung
CMR	Gleichtaktunter-	L	Leuchtdichte	n ^{DB}	Drain-Bulk-Spannung
	drückung	LS	Serieninduktivität	UDG	Drain-Gate-Spannung
ďü	Übertragungsdämpfung	N _O	Ausgangslastfaktor	UDM	Scheitelblockier- spannung
E	Beleuchtungsstärke		HF-Eingangsleistung	$\widehat{u}_{\mathrm{DR}}$	Periodische Spitzen-
F	Rauschfaktor	P _{in} P _{RS}	Nichtperiodische		blockierspannung
f fh21b	Frequenz Grenzfrequenz in	Ptot	Sperrverlustleistung Totale Verlustleistung	û _{ds}	Nichtperiodische Spitzenblockierspannung
П2 10	Basisschaltung	Räq	Äquivalentwiderstand	UDS	Drain-Source-Spannung
f _{h21e}	Grenzfrequenz in	R _{BE}	Basis-Emitter-Wider-	Ue	Eingangsspannung
	Emitterschaltung	140001	stand	UEBO	Emitter-Basis-Sperr-
$\mathbf{f}_{\mathbf{Q}}$	Gütegrenzfrequenz	RDS	Drain-Source-Widerstand		spannung
	Transitgrenzfrequenz	Re	Eingangswiderstand	UF	Durchlaßgleichspannung
G_{pb}	HF-Leistungsverstärkung in Basisschaltung	Rg	Generatorwiderstand	U _{GB}	Gate-Bulk-Spannung
h	Höhe	R _L	Lastwiderstand	U _{GS}	Gate-Source-Spannung
h _{21E}	Gleichstromverstärkung	R _{th}	Gesamtwärmewiderstand	UGT	Zündspannung
h _{21e}	Kurzschlußstromverstär-	Rthi	Innerer Wärmewiderstand	UHF	HF-Spannung
216	kung in Emitterschaltung	rF	Durchlaßwiderstand	U _I	Gleichtakteingangs- spannung
IB	Basisstrom	r _R	Sperrwiderstand	UID	Differenzeingangs-
IC	Kollektorstrom	rZ	Z-Widerstand	LID	spannung
ICBO	Kollektorreststrom bei offenem Emitter	S	Empfindlichkeit Einschaltverzögerungs-	UIO	Eingangsoffsetspannung
т	Kollektor-Emitter-	t _{DHL}	zeit	u_R	Sperrspannung,
I _{CES}	Reststrom	^t DLH	Ausschaltverzögerungs- zeit	URM	Sperrgleichspannung Scheitelsperrspannung
ICEA	Kollektorreststrom bei in Sperrichtung vorge-	tgt	Zündzeit	Û _{RR}	Periodische Spitzen-
	spannter Emitterdiode	toff	Ausschaltzeit	^	sperrspannung
ID	Drainstrom	ton	Einschaltzeit	URS	Nichtperiodische Spitzensperrspannung
Î _D	Blockierstrom	tq.	Freiwerdezeit	US	Betriebsspannung
IDR	Drainspitzenstrom	tr	Anstiegzeit	USB	Source-Bulk-Spannung
I _e	Strahlstärke	tr	Sperrerholungszeit	UT	Schwellspannung
IF	Flußstrom, Durchlaß- gleichstrom	t	Speicherzeit	UZ	Z-Spannung
ī _F Y _F	Dauergrenzstrom	TKUZ	Temperaturkoeffizient der Z-Spannung	ΔUZ	Stabilität der Z-Spannung
$\mathbf{I}_{\mathbf{F}}$	Effektiver Durchlaß- strom	U _{AN}	Nennanschlußspannung (Effektivwert)	u _{OH}	High-Ausgangsspannung
IFM	Scheiteldurchlaßstrom	UBE	Basis-Emitter-Spannung	UOL	Low-Ausgangsspannung
I _{FN}	Nenndurchlaßstrom, Nenngleichstrom	U(BR)	Durchbruchspannung	AII	Spannungsverstärkung
ÎFR	Periodischer Spitzen-	U _{CB}	Kollektor-Basis- Spannung	¥21	Steilheit Umgebungstemperatur
ÎFS	strom Nichtperiodischer	UCBO	Kollektor-Basis- Sperrspannung	Υ21 γα γο γς γς	Gehäusetemperatur Sperrschichttemperatur
	Spitzenstrom	UCE	Kollektor-Emitter-		Temperaturdifferenz
I _{G/I}	Zündstrom	CE	Spannung	λ	Emissionswellenlänge
H	Haltestrom	UCEO	Kollektor-Emitter-	\lambda p	Wellenlänge maximaler Emission
I	Eingangsbiasstrom	Contractor (Sperrspannung bei offener Basis	Δλ	Spektrale Halbwerts-
IIO	Eingangsoffsetstrom	UCER	Kollektor-Emitter-		breite
TR	Sperrstrom Durchlaßstrom	CER	Sperrspannung bei end-	τ _i	Einschaltzeitkonstante
T	Dauergrezstrom		lichem Basis-Emitter- Widerstand		
I _R I _T I _T	Effektiver Durchlaßstrom	UCErest	Kollektorrestspannung	1	
φ ^T	Periodischer Spitzen-	UCES	Kollektorsperrspannung		
ŤTR	strom	1	bei kurzgeschlossener Emitterdiode	l	

GaAs-Infrarot-Lumineszenzdiode GaAs-инфракрасные светодиоды GaAs-infrared-emitting diodes

Typ	Grenzdaton bei $\vartheta_c = 45$ °C			Informationsdaten (% = 45 °C)						
					bei				bei	
	Û _{RR} V	I _F mA	Î _{PR} mA	U _F	I _F mA	λ _p nm	Δλ nm	I _e µW/sr	I _F mA	R _{thi} grd/W
VQ 135	2	200	320	<1,5	200	920	50	>50	200	<100



Kurzzeichen

A	wirksame Fläche	$I_{\mathbf{Z}}$	Z-Strom	UCEsat	Kollektor-Emitter-
Cc	Gehäusekapazität	ΔÏZ	Stabilität des Z-Stroms	A STATE OF THE PARTY OF THE PAR	Sättigungsspannung
Cgss	Eingangskapazität	I ₀	Ausgangsstrom	UCEA	Kollektor-Emitter- Sperrspannung bei in
C'a	Sperrschichtkapazität	IO	Richtstrom		Sperrichtung vorge-
c,	Lastkapazität	ΔĬO	Richtstromdifferenz		spannter Emitterdiode
Ctot	Gesamtkapazität	1	Länge	UD	Blockierspannung
CMR	Gleichtaktunter-	L	Leuchtdichte	n ^{DB}	Drain-Bulk-Spannung
	drückung	LS	Serieninduktivität	UDG	Drain-Gate-Spannung
ďü	Übertragungsdämpfung	N _O	Ausgangslastfaktor	UDM	Scheitelblockier- spannung
E	Beleuchtungsstärke		HF-Eingangsleistung	$\widehat{u}_{\mathrm{DR}}$	Periodische Spitzen-
F	Rauschfaktor	P _{in} P _{RS}	Nichtperiodische		blockierspannung
f fh21b	Frequenz Grenzfrequenz in	Ptot	Sperrverlustleistung Totale Verlustleistung	û _{ds}	Nichtperiodische Spitzenblockierspannung
П2 10	Basisschaltung	Räq	Äquivalentwiderstand	UDS	Drain-Source-Spannung
f _{h21e}	Grenzfrequenz in	R _{BE}	Basis-Emitter-Wider-	Ue	Eingangsspannung
	Emitterschaltung	140001	stand	UEBO	Emitter-Basis-Sperr-
$\mathbf{f}_{\mathbf{Q}}$	Gütegrenzfrequenz	RDS	Drain-Source-Widerstand		spannung
	Transitgrenzfrequenz	Re	Eingangswiderstand	UF	Durchlaßgleichspannung
G_{pb}	HF-Leistungsverstärkung in Basisschaltung	Rg	Generatorwiderstand	U _{GB}	Gate-Bulk-Spannung
h	Höhe	R _L	Lastwiderstand	U _{GS}	Gate-Source-Spannung
h _{21E}	Gleichstromverstärkung	R _{th}	Gesamtwärmewiderstand	UGT	Zündspannung
h _{21e}	Kurzschlußstromverstär-	Rthi	Innerer Wärmewiderstand	UHF	HF-Spannung
216	kung in Emitterschaltung	rF	Durchlaßwiderstand	υI	Gleichtakteingangs- spannung
IB	Basisstrom	r _R	Sperrwiderstand	UID	Differenzeingangs-
IC	Kollektorstrom	rZ	Z-Widerstand	LID	spannung
ICBO	Kollektorreststrom bei offenem Emitter	S	Empfindlichkeit Einschaltverzögerungs-	UIO	Eingangsoffsetspannung
т	Kollektor-Emitter-	t _{DHL}	zeit	u_R	Sperrspannung,
I _{CES}	Reststrom	^t DLH	Ausschaltverzögerungs- zeit	URM	Sperrgleichspannung Scheitelsperrspannung
ICEA	Kollektorreststrom bei in Sperrichtung vorge-	tgt	Zündzeit	Û _{RR}	Periodische Spitzen-
	spannter Emitterdiode	toff	Ausschaltzeit	^	sperrspannung
ID	Drainstrom	ton	Einschaltzeit	URS	Nichtperiodische Spitzensperrspannung
Î _D	Blockierstrom	tq.	Freiwerdezeit	US	Betriebsspannung
IDR	Drainspitzenstrom	tr	Anstiegzeit	USB	Source-Bulk-Spannung
I _e	Strahlstärke	tr	Sperrerholungszeit	UT	Schwellspannung
IF	Flußstrom, Durchlaß- gleichstrom	t	Speicherzeit	UZ	Z-Spannung
ī _F Y _F	Dauergrenzstrom	TKUZ	Temperaturkoeffizient der Z-Spannung	ΔUZ	Stabilität der Z-Spannung
$\mathbf{I}_{\mathbf{F}}$	Effektiver Durchlaß- strom	U _{AN}	Nennanschlußspannung (Effektivwert)	u _{OH}	High-Ausgangsspannung
IFM	Scheiteldurchlaßstrom	UBE	Basis-Emitter-Spannung	UOL	Low-Ausgangsspannung
I _{FN}	Nenndurchlaßstrom, Nenngleichstrom	U(BR)	Durchbruchspannung	AII	Spannungsverstärkung
ÎFR	Periodischer Spitzen-	U _{CB}	Kollektor-Basis- Spannung	¥21	Steilheit Umgebungstemperatur
ÎFS	strom Nichtperiodischer	UCBO	Kollektor-Basis- Sperrspannung	Υ21 γα γο γς γς	Gehäusetemperatur Sperrschichttemperatur
	Spitzenstrom	UCE	Kollektor-Emitter-		Temperaturdifferenz
I _{G/I}	Zündstrom	CE	Spannung	λ	Emissionswellenlänge
H	Haltestrom	UCEO	Kollektor-Emitter-	\lambda p	Wellenlänge maximaler Emission
I	Eingangsbiasstrom	Contractor (Sperrspannung bei offener Basis	Δλ	Spektrale Halbwerts-
IIO	Eingangsoffsetstrom	UCER	Kollektor-Emitter-		breite
TR	Sperrstrom Durchlaßstrom	CER	Sperrspannung bei end-	τ _i	Einschaltzeitkonstante
T	Dauergrezstrom		lichem Basis-Emitter- Widerstand		
I _R I _T I _T	Effektiver Durchlaßstrom	UCErest	Kollektorrestspannung	1	
φ ^T	Periodischer Spitzen-	UCES	Kollektorsperrspannung		
ŤTR	strom	1	bei kurzgeschlossener Emitterdiode	l	